

ОРИЕНТАЦИЯ ЦИТОСКЕЛЕТА В КЛЕТКАХ ЭПИДЕРМЫ КОРНЕЙ, ОБРАЗОВАННЫХ *DE NOVO* НА ЛИСТОВЫХ ЭКСПЛАНТАХ В УСЛОВИЯХ КЛИНОСТАТИРОВАНИЯ

И.В. БУЛАВИН

Институт ботаники имени Н.Г. Холодного НАН Украины, Киев
E-mail: iliabulavin@rambler.ru

*Исследована анатомия, ориентация цитоскелета и толщина клеточных стенок ростовых зон корней, образованных *de novo* *in vitro* в условиях клиностатирования (моделированной микрогравитации). Анатомическая структура корней, образованных *de novo* из клеток камбия черешка листовых эксплантов, подобна структуре эмбриональных корней. Дифференцировка клеток корней *in vitro* при клиностатировании в основных чертах не отличается от контроля. Изменения ориентации тубулинового цитоскелета в условиях клиностатирования выявлены в эпидерме дистальной зоны растяжения, что, по-видимому, связано со специфическими физиологическими свойствами клеток этой зоны. Установлена тенденция к утончению клеточных стенок корней *in vitro* в условиях моделированной микрогравитации.*

Ключевые слова: *Arabidopsis thaliana*, корни *in vitro*, цитоскелет, клеточные стенки, клиностатирование.

Введение. Цитоскелет растений – сеть филаментных белков, состоящая из тубулиновых микротрубочек, актиновых микрофилааментов и ассоциированных с ней белков [1]. Элементы цитоскелета участвуют в процессах клеточного деления, эндо- и экзоцитоза, везикулярном транспорте [2, 3]. Процессы сборки микрофилааментов и микротрубочек, а также их ориентация в различных типах клеток в той или иной степени являются гравичувствительными [4–7]. В связи с этим возникает вопрос, как изменения величины гравитации или ее отсутствие могут влиять на рост и дифференцировку клеток. Ответ на этот вопрос имеет непосредственное значение для разработки технологий выращивания растений в длительных космических полетах, так как растения являются неотъемлемым компонентом биорегенеративных систем жизнеобеспечения космонавтов [8, 9]. Имеющиеся литературные данные по гравичувствительности растительно-

го цитоскелета получены в космических и модельных экспериментах на проростках *in vivo*, где объектами исследований служили клетки эмбриональных корней. Поэтому мы исследовали организацию цитоскелета в клетках различных ростовых зон корней, полученных *in vitro* в условиях моделированной микрогравитации (клиностатирования). Преимущество подобных экспериментов заключается в том, что клиностатирование действует с момента первых делений клеток экспланта до полного формирования органа *in vitro*, что позволяет установить степень влияния моделированной микрогравитации на организацию клеток в полной мере.

Материал и методы. В исследованиях были использованы растения *Arabidopsis thaliana* дикого типа (*Columbia*) и трансгенные, трансформированные конструкциями GFP-FABD2 и GFP-MAP4. Растения *A. thaliana* GFP-FABD2 конститутивно экспрессируют GFP, слитый со вторым (С-концевым) актингвязывающим доменом фимбрин-1, что обеспечивает визуализацию актинового цитоскелета *in vivo* [7, 10]. *A. thaliana* GFP-MAP4 экспрессирует химерный ген GFP, слитый с одним из генов белка, который ассоциирован с микротрубочками, что также способствует приживленно выявить элементы тубулинового цитоскелета [11, 12]. Для получения стерильных растений поверхность семян последовательно обрабатывали растворами 70%-ного спирта (45 с) и 5%-ного гипохлорита натрия (7 мин), трижды промывали стерильной дистиллированной водой и помещали на агаризованную питательную среду Мурасиге и Скуга (МС), не содержащую регуляторов роста. Культивирование проводили при температуре 22–24 °C, фотопериоде 16 ч/8 ч (свет/темнота) и освещенности 93 мкмоль·м⁻²·с⁻¹ на протяжении 21 сут. Для индукции ризогенеза от розеточных листьев 22-суточных растений отрезали верхнюю часть (1–2 мм), и оставший-

ся базальный сегмент вместе с черешком переносили в стеклянные чашки Петри на модифицированную среду МС, содержащую 1/10 часть минеральных солей, без витаминов и гормонов [13]. В металлические контейнеры цилиндрической формы ($d = 10$, $l = 10$) помещали одну чашку Петри с эксплантами. Способ размещения чашек показан на рис. 1. Часть контейнеров устанавливали горизонтально (контроль), другие закрепляли на медленном горизонтальном клиностате (2 об./мин). Культивирование осуществляли при температуре 22–24 °C, освещенности 7,4–9,3 мкмоль·м⁻²·с⁻¹, светопериоде 16 ч/8 ч (свет/темнота).

Для визуализации элементов цитоскелета корни, полученные *de novo* на листовых эксплантах трансгенных растений, помещали в каплю воды на предметное стекло и накрывали покровным стеклом. В качестве спейсеров для уменьшения механического воздействия на материал использовали парафин. Препараты исследовали с помощью лазерного сканирующего конфокального микроскопа LSM 5 Pascal («Carl Zeiss», Германия), оснащенного аргоновым лазером (возбуждение 488 нм/эмиссия 505–530 нм) и объективами Plan Neofluar.

От корней, образованных *de novo* на листовых эксплантах дикого типа, отрезали апексы длиной 0,5 см, фиксировали в растворе 2,5%-ного глютарового альдегида на 0,1 М какодилатном буфере (рН 7,2). Постфиксацию осуществляли 1 % OsO₄ на том же буфере. Материал обезвоживали в спиртах восходящей концентрации и ацетоне, заливали в смесь эпоксидных смол эпон – аралдит [14]. Срезы толщиной 50–60 нм изготавливали на ультрамикротоме MT-XL (RMR Instruments, США), помещали на бланды с подложкой из формвара, контрастировали уранилацетатом и цитратом свинца, исследовали при помощи электронного микроскопа JEM 1230 («Jeol», Япония). Полученные негативы сканировали, используя сканер HP Scanjet 5470c и программное обеспечение HP Precisionscan Pro 3.1. На цифровых изображениях, в ПО UTHSCSA ImageTool v. 3.00, измеряли толщину клеточных стенок. Данные обрабатывали статистически при помощи ПО Statistica 7.0.: выборки проверяли на нормальность распределения, применяя критерий Колмогорова–Смирнова и Ли-

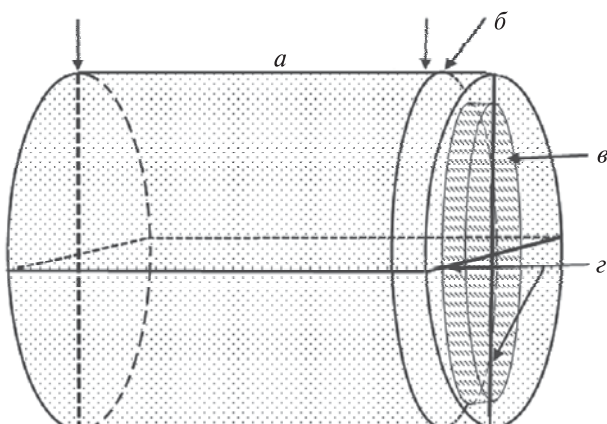


Рис. 1. Схема размещения чашки Петри с эксплантами в металлическом контейнере: *a* — пенополиуретан, *b* — слой черного картона, *в* — чашка Петри, *г* — парафин

лиефорса. Для установления статистически достоверных различий использовали t-критерий (для несвязанных выборок с нормальным распределением) или Манна–Уитни (для выборочных совокупностей, отличных от нормального распределения) [15].

Результаты исследований и их обсуждение.

Анатомическое строение корней, образованных de novo на листовых эксплантах дикого типа. Исследования процесса ризогенеза *in vitro* показали, что корни образуются в тканях листовых эксплантов из клеток камбия проводящих пучков черешка [16]. Корни, образованные *de novo*, анатомически не отличались от эмбриональных корней и состояли из корневого чехлика и ростовых зон собственно корня: меристемы, дистальной и центральной зон растяжения (ДЗР и ЦЗР), зоны дифференциации (рис. 2, *a*). В контроле длина апикальной меристемы корней *in vitro* составляла $223,4 \pm 10,87$ мкм. Дистальная зона растяжения по терминологии Ishikawa et al. [17], «переходная зона» или «постмитотическая зона изодиаметрического роста» [18], клетки которой медленно растягиваются за счет цитоплазматической экспансии, локализована между апикальной меристемой и центральной зоной растяжения, длина этой зоны составляла $95,51 \pm 6,06$ мкм. ЦЗР, для которой характерно быстрое растяжение клеток за счет роста центральной вакуоли, начиналась на расстоя-

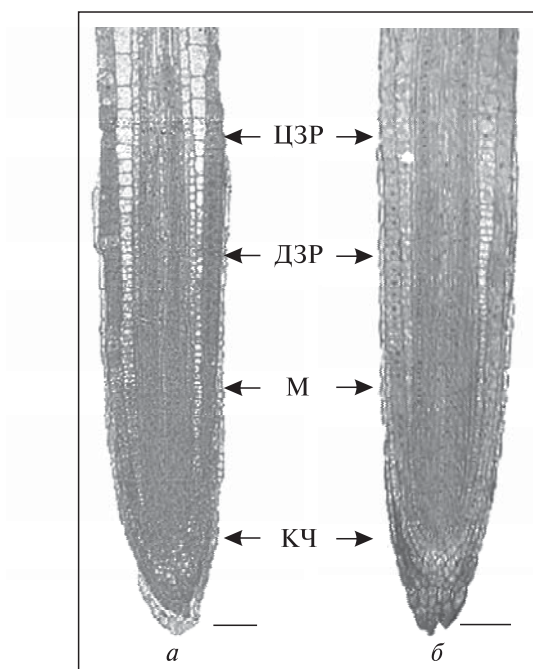


Рис. 2. Продольные срезы корней *Arabidopsis thaliana* дикого типа, образованных *de novo* на листовых эксплантах в контроле (а) и при клиностатировании (б): КЧ – корневой чехлик, М – меристема, ДЗР – дистальная зона растяжения, ЦЗР – центральная зона растяжения. Масштаб – 50 мкм

нии $318,91 \pm 13,3$ мкм от апикальной меристемы корня.

При клиностатировании анатомическое строение корней, образованных *de novo* на листовых эксплантах дикого типа (рис. 2, б), не изменилось по сравнению с контролем, их длина статистически не отличалась ($n = 15$; $p > 0,05$) и составляла для меристемы $237,07 \pm 10,98$ мкм, для ДЗР – $94,37 \pm 5,95$ мкм, для ЦЗР начиналась на расстоянии $331,44 \pm 13,47$ мкм от апикальной меристемы корня.

Визуализация цитоскелета в корнях трансгенных растений, образованных *de novo*. В корневых апексах трансгенной линии *A. thaliana* GFP-FABD2 кортикальные и эндоплазматические актиновые микрофилараменты выявлялись в клетках протодермы зоны меристемы и эпидермы последующих ростовых зон в контроле и при клиностатировании (рис. 3). В контроле кортикальные микрофилараменты располагались перпендикулярно и косо относительно продольной оси корня. Эндоплазмати-

ческие микрофилараменты окружали ядро и расходились от него радиально к цитоплазматической мембране. В клетках ДЗР ориентация кортикальных и эндоплазматических микрофилараментов была такой же, как в меристеме. В клетках ЦЗР кортикальные микрофилараменты имели продольную ориентацию. Эндоплазматические микрофилараменты располагались в цитозоле между вакуолями.

При клиностатировании в клетках протодермы, ДЗР и ЦЗР ориентация микрофилараментов была такой же, как в контроле (рис. 3, г–е).

Впервые полученные нами данные об ориентации актинового цитоскелета в ростовых зонах корней, образованных *in vitro*, демонстрируют ее сходство с ориентацией эмбриональных корней в контроле и при клиностатировании. Установлено, что в эпидермальных клетках эмбриональных корней *Zea mays* L. актиновые микрофилараменты представлены в виде тяжей двух типов – эндоплазматических и кортикальных, не имеющих определенной ориентации. В зоне растяжения кортикальные микрофилараменты располагаются более или менее параллельно по отношению к продольной оси корня [19], что также продемонстрировано на эмбриональных корнях *A. thaliana* GFP-FABD2 [7]. В литературе имеются сведения об увеличении кортикальных микрофилараментов под влиянием клиностатирования, что, по мнению авторов, может происходить вследствие трансформации G-актина в F-актин [20].

В корневых апексах трансгенной линии *A. thaliana* GFP-MAP4 ориентация кортикальных микротрубочек в протодерме зоны меристемы и ЦЗР была сходной в контроле и при клиностатировании (рис. 4). В клетках протодермы зоны меристемы корней, образованных *de novo*, кортикальные микротрубочки представлены параллельными рядами, расположенными непосредственно под цитоплазматической мембраной, перпендикулярно к продольной оси корня. В ЦЗР микротрубочки в основном ориентируются косо относительно продольной оси корня. В клетках ДЗР ориентация кортикальных микротрубочек в контроле такая же, как в клетках меристемы. При клиностатировании наряду с перпендикулярно ориентированными микротрубочками наблюдались укороченные,

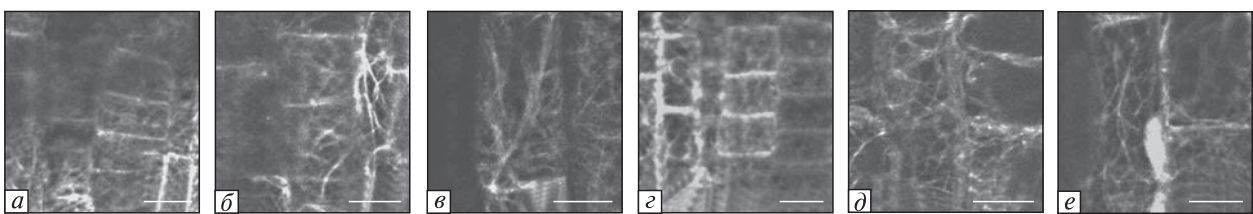


Рис. 3. Актиновые микрофиламенты в клетках ростовых зон корня *A. thaliana* GFP-FABD2 в контроле (a, б, в) и при клиностатировании (г, д, е): a, г – меристема; б, д – ДЗР; в, е – ЦЗР. Масштаб – 10 мкм

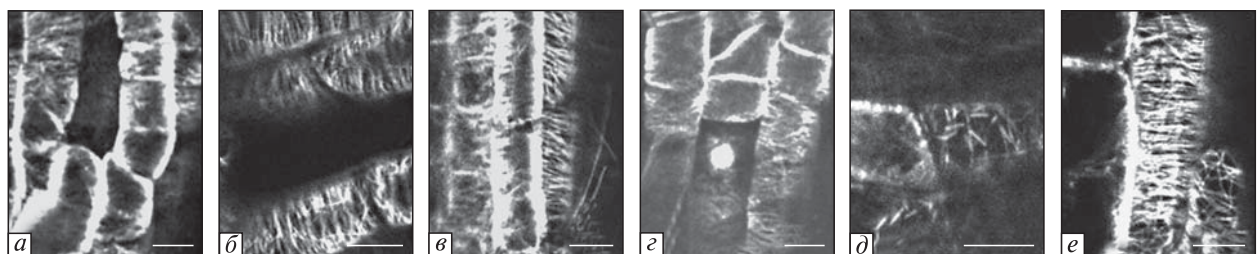


Рис. 4. Кортикальные микротрубочки в клетках корней *A. thaliana* GFP-MAP4, образованных *de novo*: a, б, в – контроль; г, д, е – клиностатирование; a, г – меристема; б, д – ДЗР; в, е – ЦЗР. Масштаб – 10 мкм

дезориентированные кортикальные микротрубочки (рис. 4, д).

Результаты впервые проведенных нами исследований тубулинового цитоскелета в различных ростовых зонах корней, образованных *de novo* в контроле и при клиностатировании, согласуются с результатами изучения эмбриональных корней у *Brassica rapa* и *A. thaliana* [21, 22]. Таким образом, тубулиновый цитоскелет клеток ДЗР является наиболее чувствительным к действию моделированной микрогравитации.

В литературе неоднократно привлекается внимание к возможным причинам четко выраженной гравичувствительности тубулинового цитоскелета ДЗР и в первую очередь обсуждается ее связь с физиологическими особенностями этой ростовой зоны корня [23, 24]. Клетки ДЗР отличаются от других ростовых зон корня по чувствительности к ауксину и другим эндогенным сигналам и экзогенным факторам, таким как этилен, внеклеточный кальций, механическое давление, водный или солевой стресс, гравитация [17, 25–27]. Предполагается, что в условиях моделированной микрогравитации более четко выявляется взаимозависимость функционирования актиновых и тубулиновых элементов цитоскелета, что обеспечивает ста-

бильность роста клеток в неблагоприятных условиях [22, 28].

Интересно отметить, что наибольшие изменения в ориентации микротрубочек в клетках эпидермы и коры корня зоны растяжения происходят во время завершающей стадии гравитационной реакции, т.е. при сгибе корня [29]. В связи с этим предполагается тесное взаимодействие между ориентацией микротрубочек и концентрацией ауксина в клетках [30]. В то же время можно предположить, что реориентация микротрубочек вызывается механически при росте эпидермальных клеток растяжением. Эта гипотеза объясняет, почему не только ауксин, но и другие ростовые факторы влияют на расположение микротрубочек. При этом принимается во внимание, что поперечная ориентация микротрубочек способствует клеточному росту, а продольная ингибирует его.

Структура клеточных стенок в условиях клиностатирования. Известно, что кортикальные микротрубочки направляют синтез и ориентацию микрофибрилл целлюлозы – главного компонента клеточных стенок растений – посредством их взаимодействия с целлюлозосинтазными комплексами, расположенными на плазматической мемbrane [31]. Актиновый цитоскелет обеспечивает транспорт везикул аппарата Гольд-

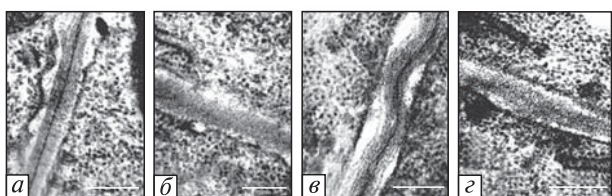


Рис. 5. Срезы поперечных (*a*, *c*) и продольных (*b*, *d*) клеточных стенок ДЗР корней, образованных *de novo*: *a*, *b* – контроль, *c*, *d* – клиностатирование. Масштаб – 200 нм

жи, содержащих целлюлозосинтазные комплексы первичной клеточной стенки к плазмалемме [32]. С учетом этих данных мы исследовали структуру клеточных стенок, измерили их толщину в протодерме и эпидерме ДЗР корней *A. thaliana* дикого типа, образованных *de novo*, в контроле и при клиностатировании.

В поперечных и продольных клеточных стенах протодермы и ДЗР в контроле различаются тонкая пектиновая срединная пластинка и микрофибриллы целлюлозы, погруженные в матрикс; периплазматическое пространство варьирует по ширине. При клиностатировании структура поперечных и продольных клеточных стенок была сходна с контролем. Хотя статистически достоверной разницы в толщине клеточных стенок в контроле и эксперименте выявлено не было, отмечена тенденция к утончению клеточных стенок (таблица). Одновременно в условиях моделированной микрогравитации наблюдали большую извилистость поперечных клеточных стенок в ДЗР (рис. 5).

Утончение внешних стенок клеток гипокотиля и листьев у *Impatiens balsamina* L. и *Triticum durum* Desf. описано после 13 и 16 дней выращивания растений в условиях космического полета. Антиклинальные и периклинальные клеточные стенки оставались по-

добны контролю [33]. Подтверждением этих данных могут служить результаты биохимического анализа, который выявил изменения в соотношении компонентов клеточных стенок листьев и стеблей гороха, находившихся 24 дня в условиях космического полета: установлено уменьшение количества целлюлозы и увеличение содержания гемицеллюлозы в органах растений [34]. При клиностатировании (24–240 ч) отмечено замедление регенерации клеточной стенки у протопластов *Brassica oleracea* L. [35], извилистость клеточных стенок в ДЗР корней *Beta vulgaris* L. после 7 дней выращивания [36]. Как известно, более ранние данные о разрыхлении и утончении клеточных стенок растений в условиях реальной и моделированной микрогравитации подтверждены результатами более поздних исследований. Выявлены изменения экспрессии генов, которые кодируют белки, ответственные за метаболизм компонентов клеточной стенки [37, 38], формирование цитоскелета и метаболизм фитогормонов, что, по мнению авторов [39], может вызывать изменения в свойствах клеточной стенки.

Показано, что анатомическая структура корней, образованных *de novo* из клеток камбия черешка листовых эксплантов, подобна структуре эмбриональных корней. Дифференцировка клеток на структурном уровне эмбриональных корней и образованных *de novo* в условиях клиностатирования в основных чертах не отличается от контроля. Наибольшая чувствительность тубулинового цитоскелета к клиностатированию выявлена в ДЗР, что, по-видимому, связано со специфическими физиологическими свойствами клеток этой зоны. Подтверждена тенденция к утончению клеточных стенок растений в условиях микрогравитации.

Толщина клеточных стенок протодермы и ДЗР корней *in vitro*, мкм

Клеточная стена	Меристема	ДЗР	Меристема	ДЗР
	Контроль		Клиностат	
Поперечная	0,106 ± 0,006	0,153 ± 0,009	0,103 ± 0,004	0,155 ± 0,07
Продольная	0,152 ± 0,007	0,203 ± 0,007	0,143 ± 0,005	0,189 ± 0,005
<i>M</i> ± <i>m</i> ; <i>n</i> = 20; <i>p</i> > 0,05				

Автор выражает искреннюю признательность д-ру Boris Voigt (Институт клеточной и молекулярной ботаники при университете г. Бонн, Германия) и акад. НАН Украины Я.Б. Блюму за предоставленные семена трансгенных растений *Arabidopsis thaliana GFP-FABD2* и *GFP-MAP4*.

CYTOSKELETON ORIENTATION
IN THE EPIDERMAL CELLS OF ROOTS
FORMED *DE NOVO* ON LEAF EXPLANTS
UNDER CLINOROTATION

I.V. Bulavin

N.G. Kholodny Institute of Botany,
NAS of Ukraine, Kyiv
E-mail: iliaybulavin@rambler.ru

Root anatomy, cytoskeleton orientation and cell wall thickness in cells of the roots formed *de novo in vitro* under clinorotation (simulated microgravity) were investigated. Structure of the embryonic roots and of the roots formed *de novo* in cambium cells of the leaf petiole explants was shown to be similar. Root cell differentiation *in vitro* under clinorotation did not differ from that in control. Changes of tubulin microtubules' orientation in the epidermis of the distal elongation zone were observed under clinorotation that seems to be associated with specific physiological properties of the cells. Under clinorotation, the tendency of cell wall thinning was detected in the root cells formed *in vitro*.

ОРИЄНТАЦІЯ ЦИТОСКЕЛЕТА В КЛІТИНАХ
ЕПІДЕРМИ КОРЕНІВ, УТВОРЕНІХ *DE NOVO*
НА ЛИСТКОВИХ ЕКСПЛАНТАХ
В УМОВАХ КЛІНОСТАТУВАННЯ

I.V. Булавін

Досліджено анатомію, орієнтацію цитоскелета і товщину клітинних стінок ростових зон коренів, утворених *de novo in vitro* за кліностатування (модельованої мікрогравітації). Анатомічна структура коренів, утворених *de novo* з клітин камбію чешишка листкових експлантів, подібна до структури ембріональних коренів. Диференціювання клітин коренів *in vitro* за кліностатування загалом не відрізняється від контроля. В епідермі дистальної зони розтягу коренів *in vitro* при кліностатуванні виявлено зміни орієнтації тубулінового цитоскелета, котрі, вірогідно, пов'язані із специфічними фізіологічними властивостями клітин цієї зони. Встановлено тенденцію до потоншення клітинних стінок коренів *in vitro* в умовах модельованої мікрогравітації.

СПИСОК ЛИТЕРАТУРЫ

1. Blancaflor, E.B., The cytoskeleton and gravitropism in higher plants, *J. Plant Growth Regul.*, 2002, vol. 21, no. 2, pp. 120–136.
2. Sampathkumar, A., Lindeboom, J.J., Debolt, S., Gutierrez, R., Ehrhardt D.W., Ketelaar, T., and Persson, S., Live cell imaging reveals structural associations between the actin and microtubule cytoskeleton in *Arabidopsis*, *Plant Cell*, 2011, vol. 23, no. 6, pp. 2302–2313.
3. Sun, T., Li, S., and Ren, H., Profilin as a regulator of the membrane-actin cytoskeleton interface in plant cells, *Front. Plant Sci.*, 2013, vol. 4, p. 512.
4. Skagen, E.B., Cortical microtubule reorganization in protoplasts isolated from *Brassica napus* hypocotyl is affected by gravity, *J. Gravit. Physiol.*, 1998, vol. 5, no. 1, pp. 117–120.
5. Papaseit, C., Pochon, N., and Tabony, J., Microtubule self-organization is gravity-dependent, *Proc. Natl. Acad. Sci. USA*, 2000, vol. 97, no. 15, pp. 8364–8368.
6. Kalinina, I., Shevchenko, G., and Kordyum, E., Tubulin cytoskeleton in *Arabidopsis thaliana* root cells under clinorotation, *Microgravity Sci. Technol.*, 2009, vol. 21, no. 1–2, pp. 187–190.
7. Pozhvanov, G.A., Suslov, D.V., and Medvedev, S.S., Actin cytoskeleton rearrangements during the gravitropic response of *Arabidopsis* roots, *Cell Tissue Biol.*, 2013, vol. 7, no. 2, pp. 185–191.
8. Kordyum, E.L., Talalayev, O.S., and Sarnatska, V.V., Space phytobiology: urgent trends and new models, *Ecol. Noosphere*, 2009, vol. 20, no. 3–4, pp. 7–14.
9. Kittang, A.I., Iversen, T.H., Fossum, K.R., Mazars, C., Carnero-Diaz, E., Boucheron-Dubuisson, E., Le Disquet, I., Legue, V., Herranz, R., Pereda-Loth, V., and Medina, F.J., Exploration of plant growth and development using the European Modular Cultivation System facility on the International Space Station, *Plant Biol.*, 2014, vol. 16, no. 3, pp. 528–538.
10. Labuz, J., Krzeszowiec, W., and Gabrys, H., Threshold change in expression of GFP-FABD2 fusion protein during development of *Arabidopsis thaliana* leaves, *Acta Biol. Crac. Ser. Bot.*, 2010, vol. 52, no. 2, pp. 103–107.
11. Marc, J., Granger, C.L., Brincat, J., Fisher, D.D., Kao, Th., McCubbin, A.G., and Cyr, R.J., A *GFP-MAP4* reporter gene for visualizing cortical microtubule rearrangements in living epidermal cells, *Plant Cell*, 1998, vol. 10, no. 11, pp. 1927–1940.
12. Yemets, A.I., Krasylenko, Yu.A., Sheremet, Yu.A., and Blume, Ya.B., Microtubule reorganization as a response to implementation of NO signals in plant cells, *Cytol. Genet.*, 2009, vol. 43, no. 2, pp. 73–79.
13. Kordyum, E.L., Sarnatska, V.V., Talalaiev, A.S., and Ovcharenko, Yu.V., *In vitro* root development in *Arabidopsis thaliana* wild type and scr mutants under clinorotation, *J. Gravit. Physiol.*, 2008, vol. 15, no. 1, pp. 165–166.
14. Carde, J.P., Electron microscopy of plant cell membranes, *Meth. Enzymol.*, 1987, vol. 148, pp. 599–622.

15. Baran, E., and Warry, F., *Simple data analysis for biologists*, Phnom Penh: World Fish Center and the Fisheries Administration, 2008, 67 p.
16. Bulavin, I.V., Rhizogenesis of *Arabidopsis thaliana* wild type and *scr* mutant *in vitro*, *Ukr. Bot. J.*, 2014, vol. 71, no. 1, pp. 78–82.
17. Ishikawa, H., and Evans, M.L., Specialized zones of development in roots, *Plant Physiol.*, 1995, vol. 109, no. 3, pp. 725–727.
18. Baluska, F., Kubica, S., and Hauskrecht, M., Post-mitotic «isodiametric» cell growth in the maize root apex, *Planta*, 1990, vol. 181, no. 3, pp. 269–274.
19. Blancaflor, E.B., and Hasenstein, K.H., The organization of the actin cytoskeleton in vertical and graviresponding primary roots of maize, *Plant Physiol.*, 1997, vol. 113, no. 4, pp. 1447–1455.
20. Kozeko, L.Y., Shevchenko, G.V., Artemenko, O.A., Martyn, G.G., and Kordyum, E.L., Actin organization and gene expression in *Beta vulgaris* seedlings under clinorotation, *J. Gravit. Physiol.*, 2005, vol. 12, no. 1, pp. 187–188.
21. Kalinina, Ia.M., Microtubules in epidermal and cortical root cells of *Brassica rapa* under clinorotation, *Tsitol. Genet.*, 2006, vol. 40, no. 5, pp. 21–27.
22. Shevchenko, G.V., Kalinina, Ya., and Kordyum, E.L., Interrelation between microtubules and microfilaments in the elongation zone of *Arabidopsis* root under clinorotation, *Adv. Space Res.*, 2007, vol. 39, no. 7, pp. 1171–1175.
23. Kalinina, Ia., Microtubules spatial alterations in root cells of *Brassica rapa* under clinorotation, *Cell Biol. Int.*, 2008, vol. 32, no. 5, pp. 581–583.
24. Kordyum, E.L., Shevchenko, G.V., Kalinina, I.M., Demkiv, O.T., and Khorkavtsiv, Y.D., The role of the cytoskeleton in plant cell gravisensitivity, *The plant cytoskeleton: a key tool for agro-biotechnology*, eds Blume Ya.B. et al., Dordrecht: Springer, 2008, pp. 173–196.
25. Ishikawa, H., and Evans, M.L., The role of the distal elongation zone in the response of maize roots to auxin and gravity, *Plant Physiol.*, 1993, vol. 102, no. 4, pp. 1203–1210.
26. Baluska, F., Volkmann, D., and Barlow, P.W., A polarity crossroad in the transition growth zone of maize root apices: cytoskeletal and developmental implications, *J. Plant Growth Regul.*, 2001, vol. 20, no. 2, pp. 170–181.
27. Fasano, J.M., Massa, G.D., and Gilroy, S., Ionic signaling in plant responses to gravity and touch, *J. Plant Growth Regul.*, 2002, vol. 21, no. 2, pp. 71–88.
28. Shevchenko, G.V., Interaction of microtubules and microfilaments in the zone of distal elongation of *Arabidopsis thaliana* roots, *Cytol. Genet.*, 2009, vol. 43, no. 4, pp. 223–229.
29. Blancaflor, E.B., and Hasenstein, K.H., Organization of cortical microtubules in graviresponding maize roots, *Planta*, 1993, vol. 191, no. 2, pp. 231–237.
30. Blancaflor, E.B., and Hasenstein, K.H., Time course and auxin sensitivity of cortical microtubule reorientation in maize roots, *Protoplasma*, 1995, vol. 185, pp. 72–82.
31. Bringmann, M., Landrein, B., Schudoma, C., Hamant, O., Hauser, M.-T., and Persson, S., Cracking the elusive alignment hypothesis: the microtubule-cellulose synthase nexus unraveled, *Trends Plant Sci.*, 2012, vol. 17, no. 11, pp. 666–674.
32. Endler, A., and Persson, S., Cellulose synthases and synthesis in *Arabidopsis*, *Mol. Plant.*, 2011, vol. 4, no. 2, pp. 199–211.
33. Nedukha, E.M., Effects of microgravity on the structure and function of plant cell walls, *Int. Rev. Cytol.*, 1997, vol. 170, pp. 39–77.
34. Laurinavichius, R.S., Yarochus, A.V., and Marchukajtis, A., Metabolism of pea plants grown under space flight conditions, *Biologicheskii issledova-niya na orbitalnykh stanziyakh salyut*, ed. Dubinin N.P., Moscow: Nauka, 1984, pp. 96–102.
35. Nedukha, E.M., Kordyum, E.L., Ovruts'ka, I.I., and Matveyeva, N.A., Effects of clinorotation on polysaccharide content in regenerated walls of *Brassica oleracea* L. protoplasts *Dopov. Nats. Akad. Nauk Ukraine*, 1996, vol. 4, pp. 129–132.
36. Shevchenko, G.V., and Kordyum, E.L., Organization of cytoskeleton during differentiation of gravisensitive root sites under clinorotation, *Adv. Space Res.*, 2005, vol. 35, no. 2, pp. 289–295.
37. Correll, M.J., Pyle, T.P., Millar, K.D., Sun, Y., Yao, J., Edelmann, R.E., and Kiss, J.Z., Transcriptome analyses of *Arabidopsis thaliana* seedlings grown in space: implications for gravity-responsive genes, *Planta*, 2013, vol. 238, no. 3, pp. 519–535.
38. Kwon, T., Sparks, J.A., Nakashima, J., Allen, S.N., Tang, Y., and Blancaflor, E.B., Transcriptional response of *Arabidopsis* seedlings during spaceflight reveals peroxidase and cell wall remodeling genes associated with root hair development, *Am. J. Bot.*, 2015, vol. 102, no. 1, pp. 21–35.
39. Hoson, T., Plant growth and morphogenesis under different gravity conditions: relevance to plant life in space, *Life (Basel)*, 2014, vol. 4, no. 2, pp. 205–216.

Поступила 14.05.15